

И Н С Т И Т У Т  
ЯДЕРНОЙ ФИЗИКИ СОАН СССР

И Я Ф 8 - 70

В.И.Волосов, А.В.Комин

О ВЫБОРЕ ОПТИМАЛЬНЫХ ПАРАМЕТРОВ  
МАГНИТНОЙ СИСТЕМЫ СТЕЛЛАРАТОРА\*\*

Новосибирск

1970

АКАДЕМИЯ НАУК СССР  
СИБИРСКОЕ ОТДЕЛЕНИЕ

**Институт ядерной физики**

**В.И.Волосов, А.В.Комин**

# О ВЫБОРЕ ОПТИМАЛЬНЫХ ПАРАМЕТРОВ МАГНИТНОЙ СИСТЕМЫ СТЕЛЛАРАТОРА<sup>xx)</sup>

**Новосибирск** 1970

1. Одной из весьма интересных и перспективных магнитных систем для удержания термоядерной плазмы является замкнутая тороидальная магнитная ловушка типа "стелларатор", предложенная Л. Спитцером в 1951 году /1/. Магнитное поле в стеллараторе обычно создается двумя системами обмоток: одна из них создает продольное тороидальное магнитное поле, другая - система так называемых винтовых обмоток, состоящая из  $N$  пар спиральных проводников<sup>x)</sup>, лежащих под углом  $\beta$  к оси тора, создает "винтовую" компоненту магнитного поля /2,3/. В большинстве современных установок  $N$  равно 2 или 3.

Магнитные силовые линии и, соответственно, частицы плазмы в подобной системе прокручиваются вокруг оси тора, что приводит к компенсации тороидального дрейфа частиц. Полный угол прокручивания на периметре установки обозначается буквой  $\ell$  (иота); угол прокручивания на период винтовой обмотки равен

$2\pi\omega$ ; откуда  $\ell = 2\pi\omega T$ , где  $T$  - полное число периодов обмотки. Величина  $\ell$  имеет важное значение при вычислении коэффициента диффузии плазмы в классическом случае /4/ и существенно влияет на диффузию в турбулентной плазме /5/, причем с ростом  $\ell$  коэффициент диффузии падает. Если угол прокручивания меняется по радиусу, то силовые линии, лежащие на разных радиусах перекрещиваются. Величина этой перекрещенности или шири  $\theta$  определяет стабилизацию низкочастотных дрейфовых колебаний в плазме, на что впервые было указано в работе /6/. Эффект стабилизации колебаний широм изучался в целом ряде как теоретических, так и экспериментальных работ /7-12/.

Очевидно, что для получения максимальных значений величин шири и угла прокручивания можно менять как геометрию магнитных обмоток, так и соотношение токов в обмотках. Так как второй фактор довольно легко варьируется в процессе эксперимента, то будем предполагать, что он всегда выбран оптимальным образом; как нетрудно показать, это означает, что сепараторы (см. ниже) касаются стенок вакуумной камеры. Из геометрических факторов основными являются: угол наклона винтовой обмотки к оси тора и отношение большого ( $R$ ) и малого ( $r$ ) радиусов тора  $R/r$ . Параметр  $R/r$  в рассматриваемой задаче должен выбираться максимально возможным, т.к. с одной стороны очевид-

x) Иногда параметр  $N$  обозначают через  $\ell$ .

х) Работа выполнена в 1967-1968 гг.

но, что  $\ell$  при этом возрастает практически линейно, а величина  $\theta$  растет (довольно медленно), за счет уменьшения области разрушения магнитных поверхностей вблизи сепаратрисы, см./13-14/.

Ниже мы рассматриваем зависимость  $\ell$  и  $\theta$  в стеллараторе от угла наклона винтовой обмотки  $\beta$ . Максимальное значение этих параметров соответствует некоторому  $\beta^*$ ; причем  $0 < \beta^* < \pi/2$ .

При  $\beta \rightarrow 0$  одновременно стремится к 0 и угол прокручивания; с другой стороны, при  $\beta \rightarrow \pi/2$ , шаг винтовой обмотки становится много меньше радиуса обмотки и поле винтовой обмотки экспоненциально спадает по радиусу на размере  $\sim r(\beta - \pi/2)$ , т.е. практически во всем объеме плаэмы параметры  $\theta$  и  $\ell$  экспоненциально малы.

Наиболее строгий метод решения этой задачи состоит в анализе результатов точных численных расчётов (см./13-15/). Однако, как будет показано ниже, во многих случаях при оценках можно пользоваться приближенными аналитическими выражениями, получаемыми в пределе  $(R/2)^{-1} \rightarrow 0$ .

2. Рассмотрим магнитное поле прямолинейного стелларатора ( $(R/2)^{-1} = 0$ ). Скалярный потенциал, описывающий подобное поле имеет вид /2/:

$$\phi = B_0 z + \frac{1}{\lambda} \sum_{n=1}^{\infty} b_n I_n(n\lambda z) \cdot \sin n(\varphi - \lambda z) \quad (1)$$

Уравнение магнитных поверхностей

$$\psi(2\varphi z) = B_0 \frac{\lambda z^2}{2} - 2 \sum_{n=1}^{\infty} b_n I'_n(n\lambda z) \cdot \cos n(\varphi - \lambda z) \quad (2)$$

где  $\lambda = 2\pi/L = m/R$ . Ограничимся в дальнейшем основной гармоникой магнитного поля. Это достаточно хорошее приближение для магнитного поля вблизи оси, практически при любом распределении токов по  $\varphi$  в винтовой обмотке; это приближение справедливо также и в окрестности сепаратрисы при условии, что распределение токов по  $\varphi$  близко к синусоидальному. В этом случае (1) и (2) имеют вид:

$$\phi = B_0 z + \frac{b}{\lambda} I_n(n\lambda z) \cdot \sin n(\varphi - \lambda z) \quad (1')$$

где  $b = \lambda z$ ;

$$\psi = \frac{B_0}{2\lambda} \left( \beta^2 - \frac{2b}{B_0} \beta \cdot I'(nb) \cdot \cos n(\varphi - \lambda z) \right) \quad (2')$$

Для наиболее интересных случаев  $n = 2$  и  $n = 3$  уравнение (2') приводится к виду (введем  $\varepsilon = \beta/B_0$ ):

$$z^2 (1 - \varepsilon \cos 2\varphi) = \text{const} ; \quad (n=2) \quad (3)$$

При  $\varepsilon < 1$  в окрестности начала координат сечения магнитных поверхностей являются эллиптическими; при  $\varepsilon > 1$  — гиперболическими

$$z^2 (1 - 2\varepsilon(n/2)^{n-1} \beta^{n-2} (2(n-1)!)^{-1} \cos n\varphi) = \text{const}, \quad (n \geq 3) \quad (3')$$

При любых  $\varepsilon$  и  $\beta \ll 1$  сечения магнитных поверхностей имеют вид возмущенных окружностей, охватывающих начало координат.

Прокручивание силовой линии вокруг торoidalной оси на периоде магнитного поля  $\ell/m = 2\pi\omega/\lambda$ ; где

$$\omega(\beta) = \varepsilon^2 \left( \frac{2}{n!} \left( \frac{n}{2} \right)^{n+1} \right)^2 \left\{ \left( 1 - \frac{1}{n} \right) \beta^{2n-4} + \frac{n}{2} \beta^{2n-2} + \dots \right\} \quad (4)$$

Переход от области замкнутых к области разрушенных магнитных поверхностей происходит на сепаратрисе — последней неразрушенной магнитной поверхности. На сепаратрисе имеется  $n$  угловых особых точек, расстояние до которых от начала координат ( $r_c$ ) связано с параметром  $\varepsilon$  выражением:

$$\varepsilon = \frac{s_c^2}{n(1+s_c^2) \cdot I_n(ns_c)} \quad (5)$$

Можно показать (см., например /2/), что угол прокручивания силовой линии на сепаратрисе совпадает с углом прокручивания винтовой обмотки или что ребро сепаратрисы совпадает с силовой линией. Если обозначить угол наклона винтовой обмотки к оси тора  $\beta_\theta$ , а угол наклона сепаратрисы  $\beta_c$ , то

$$\tan \beta_\theta = \frac{s_c}{r_c} \cdot \tan \beta_c$$

где  $\gamma_b$  и  $\gamma_c$  - радиусы винтовой обмотки и сепаратрисы соответственно. Ниже, при нахождении оптимальных значений  $\gamma$  и  $\theta$ , наряду с  $\beta_c$  используется величина  $\beta_c = 2\pi r_c/\gamma = \operatorname{tg} \beta_c$ .

Для изучения свойств магнитного поля в системе с  $(R/\gamma)^{-1} \neq 0$  в случае, когда рассматривается область вблизи сепаратрисы, рассмотренное выше приближение может быть непригодно даже для грубых оценок. Здесь нами использовались результаты точных численных расчётов в основном изложенных в работах [14, 15]. Расчёты проводились для тороидального поля с магнитным потенциалом:

$$\phi = a \cdot H(\operatorname{ch} \eta - \cos \theta)^{1/2} \cdot Q_{n-1/2}^{(m)} \sin(n\theta + m\varphi) + a\varphi \quad (8)$$

где  $\eta$ ,  $\theta$ ,  $\varphi$  - тороидальные координаты. Они выражаются через цилиндрические [16]  $\varphi' = \varphi$ ;  $\beta = a \operatorname{sh} \eta / (\operatorname{ch} \eta - \cos \theta)$ ;  $z = a \sin \theta / (\operatorname{ch} \eta - \cos \theta)$ ,  $a$  - радиус базисной окружности для выбранной системы координат ( $a = \sqrt{R^2 - z^2}$ );

$Q_{n-1/2}^{(m)}$  - присоединенная сферическая функция. Нетрудно показать, что при  $R/\gamma \rightarrow \infty$  выражение (8) переходит в выражение (1) с точностью до константы.

3. Рассмотрим теперь зависимость шира и угла прокручивания силовой линии от угла наклона сепаратрисы  $\beta_c$  к направлению вектора продольного магнитного поля.

### Перекрещенность силовых линий - шир.

Шир (или интегральный шир) вводится в теории магнитных полей как безразмерная величина, характеризующая среднюю по периоду вращения линии перекрещенность силовых линий магнитного поля (на заданном радиусе). В цилиндрических координатах его можно выразить в виде

$$\theta_u = \gamma^2 \frac{\partial}{\partial \gamma} \left( H_\varphi(z)/\gamma H_z(z) \right) = \beta^2 \frac{\partial \omega(\beta)}{\partial \beta} \quad (9)$$

В теории величина шира иногда определяется несколько иначе

$$\theta_u^* = \frac{x}{\gamma} \cdot \theta_u$$

где  $x$  - характерный размер неоднородности плотности или температуры в плазме. Однако более удобно для сравнения различных установок пользоваться значением  $\bar{\theta}_u$  - которое не зависит от параметров плазмы и определяется лишь геометрией магнитного поля.

В некоторых работах [10] шир дополнительно усредняется по радиусу, вводится понятие среднего шира, определяемого выражением

$$\bar{\theta}_u = \frac{\Delta L \cdot \gamma_c}{2\pi R} = \frac{\Delta L \cdot \gamma_c}{S} \quad (9^1)$$

где  $\Delta L = L(z_c) - L(z=0)$ ;  $S$  - периметр установки. Для стелларатора с  $n \geq 3$ ,  $L(z=0) = 0$  можно упростить (9<sup>1</sup>) при условии  $\beta < 1$ , записав

$$\bar{\theta}_u = \omega \beta = \frac{\theta_u}{2(n-2)}$$

В частности, при  $n = 3$ ;  $\bar{\theta}_u \cong \theta_u/2$ . Для 2-х заходного стелларатора  $\Delta L = L(z_c) - L(z=0)$ , где  $L(z=0) = \pi \epsilon^2 m$

В простейшем случае прямого стелларатора  $(R/\gamma)^{-1} = 0$  рассмотрим область, находящуюся вблизи оси, в этом случае из (4) и (9) имеем

$$\theta_u = \epsilon^2 \left( \frac{2}{n!} \left( \frac{n}{2} \right)^{n+1} \right)^2 \left\{ \left( 1 - \frac{1}{n} \right) (2n-4) \beta^{2n-3} + n(n-1) \beta^{2n-1} + \dots \right\} \quad (10)$$

учитывая (5), получаем

$$\theta_u = \frac{\beta_c^{4-2n} \left[ 2 \left( 1 - \frac{1}{n} \right) (n-2) \beta_c^{2n-3} + n(n-1) \beta_c^{2n-1} + \dots \right]}{\left( 1 + \beta_c^2 \right)^2 \cdot \left( 1 + \beta_c^2 \frac{n^2}{4(n+1)} + \beta_c^4 \frac{n^4}{32(n+1)(n+2)} + \dots \right)^2} \quad (11)$$

В случае  $\beta \ll 1$  и  $n \neq 2$  имеем:

$$\theta_u = \left( \frac{\beta}{\beta_c} \right)^{2n-3} \frac{2 \left( 1 - \frac{1}{n} \right) (n-2) \beta_c}{\left( 1 + \beta_c^2 \right)^2 \left( 1 + \beta_c^2 \frac{n^2}{4(n+1)} + \beta_c^4 \frac{n^4}{32(n+1)(n+2)} \right)^2}$$

или

$$\theta \approx \left(\frac{\beta}{\beta_c}\right)^{2n-3} \cdot 2 \left(1 - \frac{1}{n}\right) (n-2) \cdot F_n(\beta_c, n) \quad (12)$$

где

$$F_n = \frac{\beta_c}{(1 + \beta_c^2)^2 \cdot \left( \sum_{k=0}^{\infty} \beta_c^{2k} \frac{(n/2)^{2k} \cdot n!}{k!(n+k)!} \right)^2}$$

Функция  $F_n$  определяется только углом наклона сепаратрисы. Множитель  $(\beta/\beta_c)$  - определяет радиус силовой линии в единицах  $\beta_c$ . Для случая  $n = 3$  график  $F_3(\beta_c, 3)$  приведен на рис.2; максимальное значение  $\theta$  в центральной области достигается при  $\beta_c = 0,426$  или  $\beta_c = 23^\circ 5'$ ; при этом  $\theta = 0,33 \times (\beta/\beta_c)^3$ .

В случае  $n = 2$  из (11) получаем

$$\theta = \left(\frac{\beta}{\beta_c}\right)^3 \frac{2 \cdot \beta_c^3}{(1 + \beta_c^2)^2 \left(1 + \beta_c^2 \frac{1}{3} + \beta_c^4 \frac{1}{24} + \dots\right)^2}$$

или

$$\theta = 2 \left(\frac{\beta}{\beta_c}\right)^3 F_n(\beta_c, 2)$$

$$F_n(\beta_c, 2) = \frac{\beta_c^3}{(1 + \beta_c^2)^2 \left(1 + \beta_c^2 \frac{1}{3} + \beta_c^4 \frac{1}{24} + \dots \beta_c^{2k} \frac{2!}{k!(k+2)!} + \dots\right)^2} \quad (13)$$

$F_n$  - множитель, зависящий только от  $\beta_c$ , график этой функции приведен на рис.1. Максимальное значение  $\theta$  достигается при  $\beta_c = 0,95$  или  $\beta_c = 43,5^\circ$ .

Сравнение величины шира (точнее  $F_n$  для  $n = 2,3$ ), полученного аналитически из формул (12), (13) и точно вычисленного с помощью ЭВМ, показывает хорошее совпадение этих величин при  $r/r_c < 0,8 - 0,9$  и  $R/r_c = 10$ . Графики  $\theta(r/r_c)$  приведены на рис.3 и 4. Таким образом, для реального стеллатора в области  $(r/r_c) < 0,8 - 0,9$  с достаточной точностью

применимы приведенные выше выражения для  $\theta$ .

Полученные выше результаты при  $\beta \ll 1$  и  $(R/r)^{-1} = 0$  несколько меняются в случае, когда рассматривается средний шир в реальном стеллаторе  $R/r = 5 - 10$ , однако качественная картина изменения  $\theta$  с ростом угла  $\beta_c$  остается такой же. Результаты численных расчетов  $\theta$  при  $R/r = 5:10$  приведены на рис.1 и 2. При сравнении  $\bar{\theta}$  и  $\theta$  следует учитывать, что величина  $\bar{\theta}$  определяется углом прокручивания на реальной сепаратрисе, который резко возрастает вблизи винтовой обмотки; с другой стороны, за счет разрушения магнитных поверхностей при малых параметрах  $R/r$ , угол прокручивания на реальной сепаратрисе может не очень сильно отличаться от углов прокручивания, определяемых из асимптотической формулы (10). Это подтверждается тем, что, как видно из графиков, оптимальные углы на наклона винтовой обмотки, найденные как из асимптотических формул, так и из точных расчетов, в ряде случаев хорошо совпадают (например, при  $n = 2$ ;  $R/r = 5:10$ ).

При выборе оптимальных углов наклона винтовой обмотки следует также учитывать, что теория предсказывает стабилизацию неустойчивостей при достаточно больших значениях  $\theta$  в некотором объеме, т.е. толщина слоя по радиусу должна быть много больше, чем размер смещения частиц (прежде всего запертых) по радиусу, т.е.  $\Delta r \gg r_s$ . Поэтому более правильной была бы оценка среднего по объему шира. Метод усреднения здесь зависит от постановки задачи. Например для стеллатора наиболее интересный параметр - время удержания плазмы  $T$  может рассматриваться как функция  $\theta$ ; в этом случае оптимальный шир может быть найден из условия  $\partial T(\theta)/\partial \beta_c = 0$ . В настоящее время невозможно выразить  $T(\theta)$  для реального стеллатора достаточно точно; можно лишь утверждать, что с ростом  $\theta$  во всем или почти во всем объеме  $-T$  растет. Приведенные выше расчеты позволяют найти границы области, в которой находится оптимальный угол  $\beta_c$ . Снизу - это оценка  $\beta^*$  из (12) и (13), т.к. при  $\beta < \beta^*$  шир падает во всем объеме; сверху такой границей, по-видимому, является  $\beta^*$ , полученное из численных расчетов  $\theta$ .

## Локальный шир

Выше были проведены оценки перекрещенности силовых линий усредненной по периметру тора, которая играет существенную роль в стабилизации длинноволновых (по  $\vec{z}$ ) возмущений. Однако в некоторых случаях, в частности для коротковолновых возмущений ( $\lambda_z \sim L$ ;  $\lambda_y < 2/\epsilon n$ ), стабилизация может зависеть от локального значения перекрещенности силовых линий - локального шири  $\theta_1$ . Можно определить локальный шир следующим образом. Если ввести вектора:  $\vec{\tau}_1 \equiv \vec{H}/|\vec{H}|$  - направленный вдоль силовых линий магнитного поля,  $\vec{\tau}_3 \equiv \nabla\vec{\Psi}/|\nabla\vec{\Psi}|$  - направленный по нормали к магнитной поверхности (см. (2)) и  $\vec{\tau}_2 = [\vec{\tau}_1 \times \vec{\tau}_3]$  - вектор перпендикулярный силовой линии, касающейся магнитной поверхности, то  $\theta_1$  определяется из выражения (см. /17/)

$$\theta_1 = \gamma (\vec{\tau}_2 \cdot \text{rot} \vec{\tau}_2) = \gamma \left[ \frac{\vec{H}}{|\vec{H}|} \times \frac{\nabla\vec{\Psi}}{|\nabla\vec{\Psi}|} \right] \cdot \text{rot} \left[ \frac{\vec{H}}{|\vec{H}|} \times \frac{\nabla\vec{\Psi}}{|\nabla\vec{\Psi}|} \right] \quad (14)$$

Нетрудно показать, что для магнитной системы, состоящей из вложенных цилиндрических магнитных поверхностей, определение локального шири из (14) и (9) совпадает, это связано с тем, что здесь нормаль к магнитной поверхности во всех точках направлена по радиусу.

Для вычисления  $\theta_1$  значения  $\vec{H}$  и  $\vec{\Psi}$  из (1<sup>1</sup>), (2<sup>1</sup>) представим в (14). После элементарных преобразований получаем для  $\theta_1$  в точках, где эта функция имеет максимум (нормаль к поверхности направлена по радиусу)

$$\theta_1 \approx 2\epsilon n^2 \left\{ I_n' - \frac{I_n}{n\beta} [1 - \epsilon n (2I_n' \cdot s_n - I_n) + O(\epsilon^2)] \right\}$$

Предположим, что  $\beta \ll 1$ ; разлагая функции Бесселя в ряды получаем

$$\theta_1 \approx 2\epsilon n^2 \left[ \frac{n-1}{2} \left( \frac{s_n}{2} \right)^{n-1} \frac{1}{n!} + \frac{1}{2 \cdot n!} \left( \frac{s_n}{2} \right)^{n+1} + \right]$$

$$+ \epsilon n \frac{1}{(n!)^2} \left( \frac{s_n}{2} \right)^{2n-1} (n - \frac{1}{2}) + O(s^{n+3}; \epsilon s^{2n+1}, \epsilon^2) \quad (15)$$

Используя представления  $\epsilon$  через  $s$  получаем

$$\theta_1 = 2(n-1) \left( \frac{s}{s_c} \right)^{n-1} \cdot F_1 \quad (16)$$

где

$$F_1(2) = \frac{s_c}{(1+s_c^2)(1+s_c^2 \frac{1}{3} + s_c^4 \frac{1}{24} + \dots)}$$

$$F_1(3) = \frac{s_c}{(1+s_c^2)(1+s_c^2 \frac{9}{16} + s_c^4 \frac{81}{640} + \dots)}$$

Графики  $F_1(s_c, 2)$  и  $F_1(s_c, 3)$  - функций, связывающих локальный шир в центре камеры с углом наклона сепаратрисы, приведены на рис.1 и 2. Как видно из этих кривых, максимальный локальный шир достигается при  $\beta_c \approx 35^\circ$  для  $n = 2$  и при  $\beta_c \approx 33^\circ$  для  $n = 3$ , что несколько отличается от оптимальных углов для интегрального шири. Другая особенность локального шири - линейная зависимость от  $\epsilon$  (см. (15)) в отличие от интегрального шири, который  $\sim \epsilon^2$ . Необходимо также учитывать, что при обходе по сечению магнитной поверхности величина  $\theta_1$  является знакопеременной функцией. Максимальное положительное значение  $\theta_{1\max}$  ( $\text{sign } \theta_1 = \text{sign } \theta_u$ ) достигается в точках магнитной поверхности при  $r = r_{\max}$ , величина  $\theta_{1\max}$  была вычислена выше (15), (16); максимальное отрицательное значение  $\theta_1$  при  $r = r_{\min}$ .

## Угол прокручивания силовой линии

Как было показано выше, угол прокручивания является важным параметром при определении времени жизни плазмы в стеллаторе как в случае классической, так и турбулентной диффузии.

Для упрощения оценок рассмотрим случай  $(R/r)^{-1} = 0$ ,

а также будем считать, что  $m$  - непрерывная функция  $\beta_c$ , т.е.

$$m = 2\pi R/L = \beta_c \cdot R/\gamma_c \equiv \beta_c \cdot R/a$$

где  $a$  - радиус плазмы (или камеры). Учитывая (4) получаем:

$$\zeta = \zeta_0(\beta_c) \cdot \left(\frac{\beta}{\beta_c}\right)^{2n-4} \frac{n-1}{n} \cdot \frac{2\pi R}{a} \quad (17)$$

где

$$\zeta_0(\beta_c) = \omega_0(\beta_c) \cdot \beta_c$$

с учётом (5), имеем

$$\zeta_0 = \frac{\beta_c}{(1+\beta_c^2)^2 \left( \sum_{k=0}^{\infty} \beta_c^{2k} \frac{(n/2)^{2k}}{k!(n+k)!} \right)^2}$$

Графики функций  $\zeta_0(\beta_c, 3)$  и  $\zeta_0(\beta_c, 2)$  приведены на рис.5, здесь же для сравнения приведены графики углов прокручивания

$\zeta' = \frac{\zeta a}{2\pi R}$  (на сепараторе), полученные численно. Очевидно, что углы прокручивания на сепараторе достигают максимума при больших  $\beta_c$  (здесь играет роль не убывание поля винтовой обмотки в центральных областях, а рост разрушения магнитных поверхностей при больших углах  $\beta_c$ ).

Для получения максимальных по объёму углов прокручивания, как следует из графиков, угол  $\beta_c$  должен лежать между

$$\beta_c(\zeta_{\max}) = 28^\circ - 26^\circ \text{ и } \beta_c(\zeta'_{\max}) = 45^\circ - 55^\circ.$$

В зависимости от постановки задачи значение этого угла может быть уточнено.

Проведенные выше расчёты дают возможность определить как оптимальное значение  $\beta_c$ , так и размеры области углов  $\beta_c$ , при которых интересующие нас параметры поля (шир.угол прокручивания) близки к максимальным. Однако при решении конкретных задач, о поведении плазмы в стеллараторе, например, задачи о магнитной системе, наилучшим образом удерживающей плазму в стеллараторе, необходимы дополнительные сведения о процессах, определяющих диффузию плазмы, а также о связи этих процессов с локальным значением  $\theta(z)$  и  $\zeta(z)$ .

## Л и т е р а т у р а

1. Л.Спитцер. Труды П Международной конференции по мирному использованию ат.энергии, т.1. Избранные доклады иностранных ученых. М., Атомиздат, 1959 г.
2. А.И.Морозов, Л.С.Соловьев. Сб. "Вопросы теории плазмы", вып.2, М., Госатомиздат, 1963 г., стр.92-130.
3. Л.С.Соловьев, В.Д.Шафранов. Сб. "Вопросы теории плазмы", вып.5. М., Атомиздат, 1967 г., стр.2-208.
4. А.А.Галеев, Р.З.Сагдеев, Г.П.Фюрс. Диффузия плазмы в тороидальном стеллараторе. Препринт ИЯФ СО АН, № 168, 1967 г.
5. Б.Б.Кадомцев, О.П.Погуде. Сб. "Вопросы теории плазмы", вып.5, М., Атомиздат, 1967 г., стр.209-350.
6. M.Rosenbluth ; Harwell, sept. 17-28 (1962 г.)
7. M.Rosenbluth,N.Krall,N.Rostoker, "Ядерный синтез", Дополнение 1962, кн.1, 143 (1962).
8. А.Б.Михайловский. Сб. "Вопросы теории плазмы", вып.3, М., Госатомиздат, 1963 г., стр.147.
9. А.А.Рухадзе, В.П.Силин. УФН, 82, 499 (1964).
10. Д.К.Акулина, Г.М.Баталов и др. Plasma Physics and Controlled Nuclear Fusion Research(Culh.65)IAEA, 1, 733  
М.С.Бережецкий, С.Е.Гребенщиков и др. Plasma Physics and Controlled Nuclear Fusion Research, (Новосибирск, 1968), IAEA, 1969, т.1, 526.
11. E.A.Ellis, H.P.Eubank, Phys. Fluids, 11, № 5, 1109 (1968).
12. В.Н.Бочаров и др. Plasma Physics and Controlled Nuclear Fusion Research, (Новосибирск - 1968г.), IAEA, 1969 г., т.1, стр.561.

13. A.G.Gibson. Phys.Fluids, 10, № 7, 1553 (1967).
14. А.В.Комин, Л.С.Красицкая, В.П.Минаев. Атомная энергия, т.27, вып.3, 221 (1969).
15. А.В.Комин. Кандидатская диссертация, Новосибирск, 1969 г.
16. Л.М.Коврижных. ЖТФ, 33, 377, 1964.
17. И.С.Байков, препринт ФИАН СССР № 95, М., 1966 г.

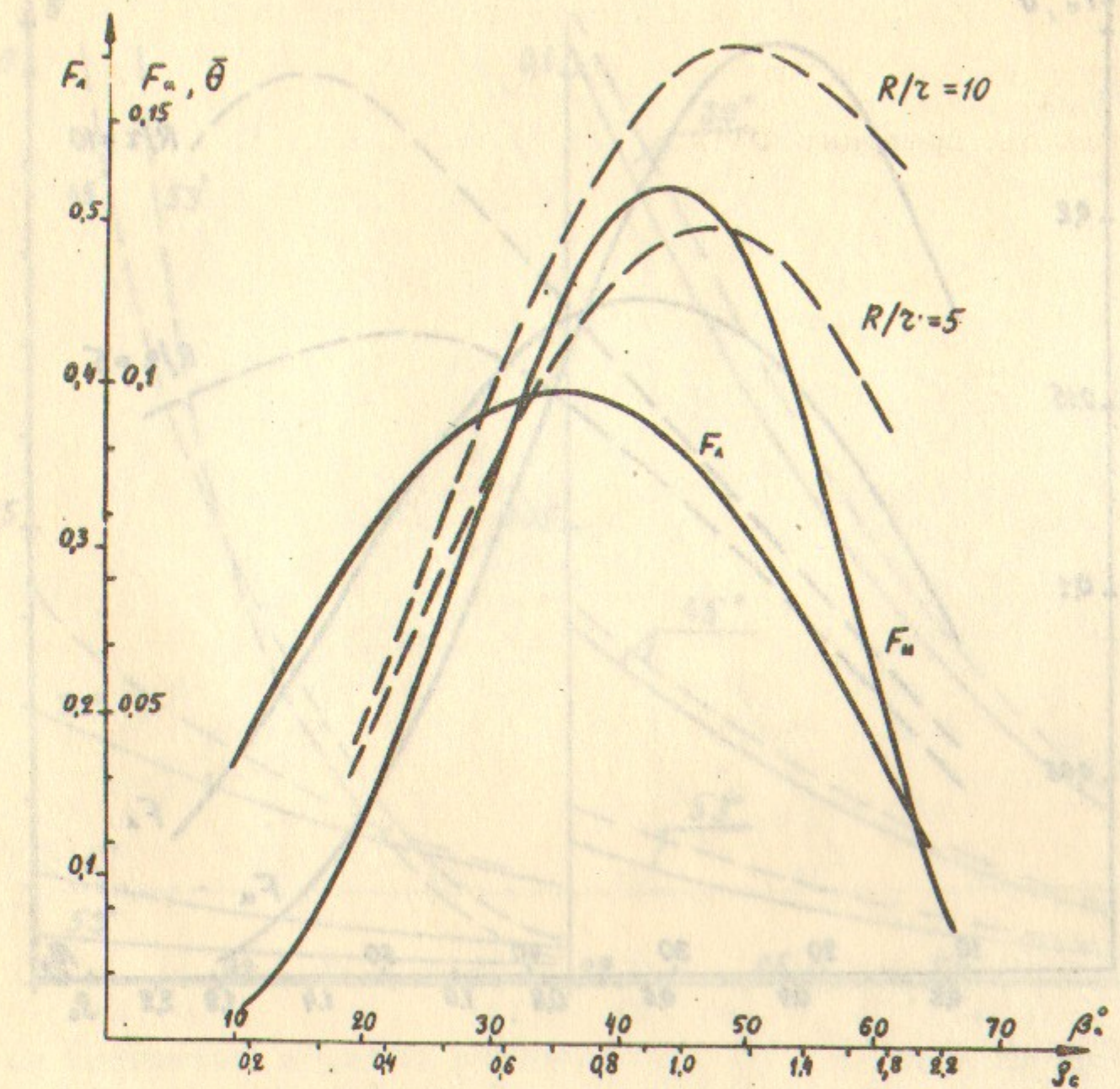


Рис.1. Зависимость функций  $F_u$ ,  $F_1$  и среднего шира при  $R/z = 5, 10$  — от угла наклона сепаратрисы  $\beta_c$  при  $N = 2$ .

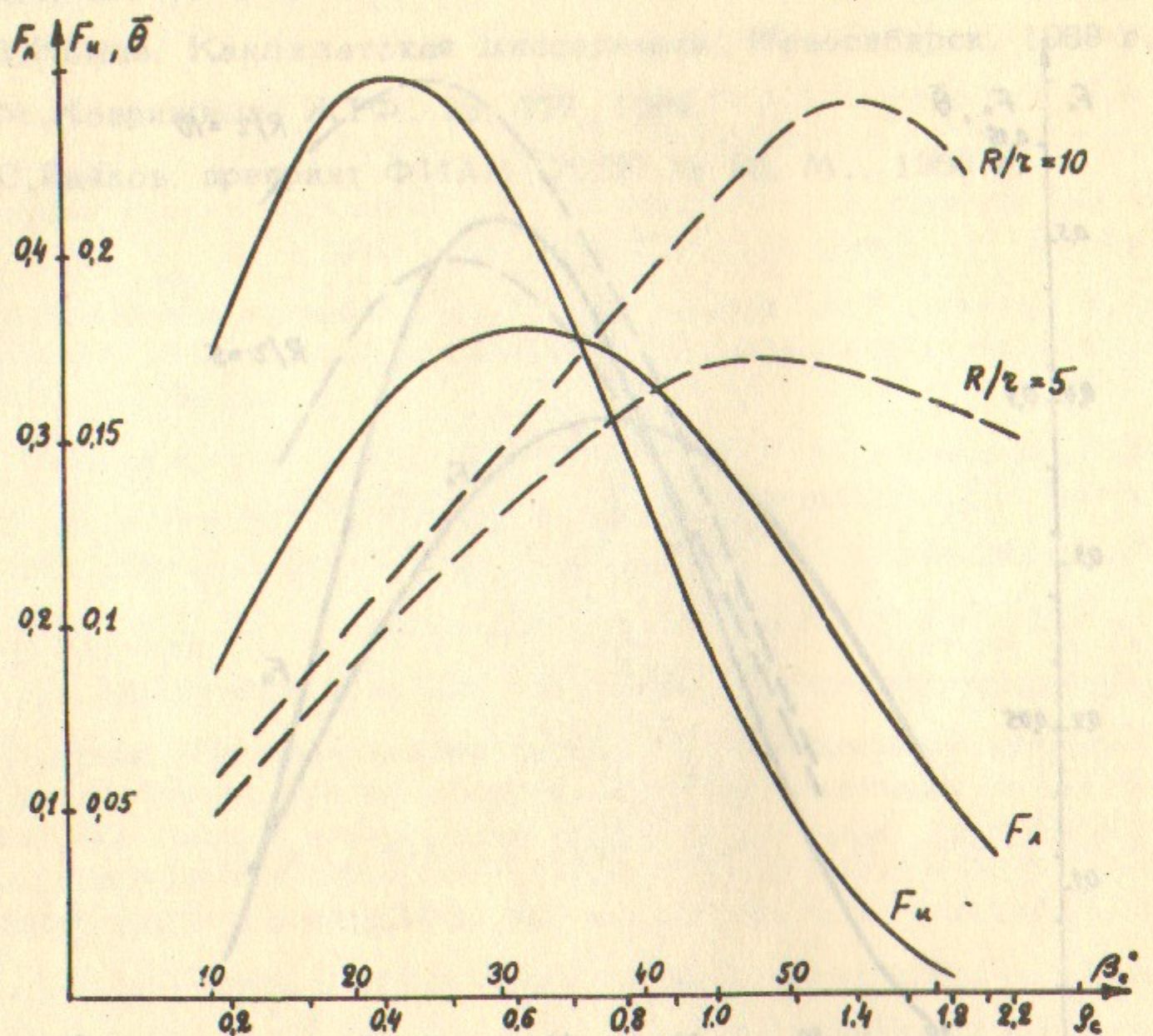


Рис.2. Зависимость функций  $F_u$ ,  $F_n$  и среднего шира при  $R/z = 5, 10$  - от угла наклона сепаратрисы  $\beta_c$  при  $I = 3$ .

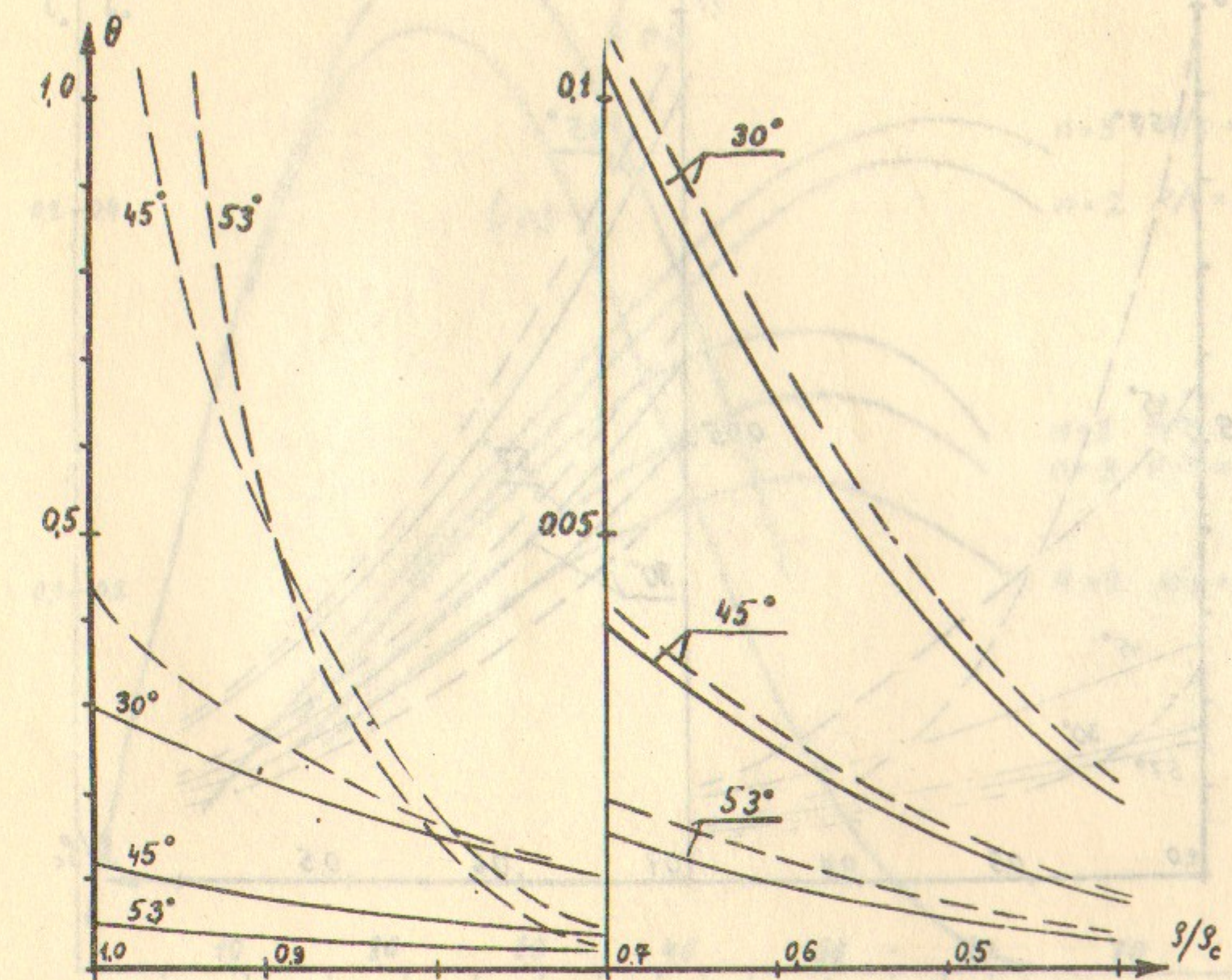


Рис.3. Зависимость  $\theta$  от усредненного радиуса магнитной поверхности  $\beta = 2\pi z/L$ ;  $\beta_c = 2\pi z_c/L$ ; сплошные линии - расчётные значения в соответствии с (11); штриховые линии - точный расчёт на ЭВМ;  $I = 3$ .

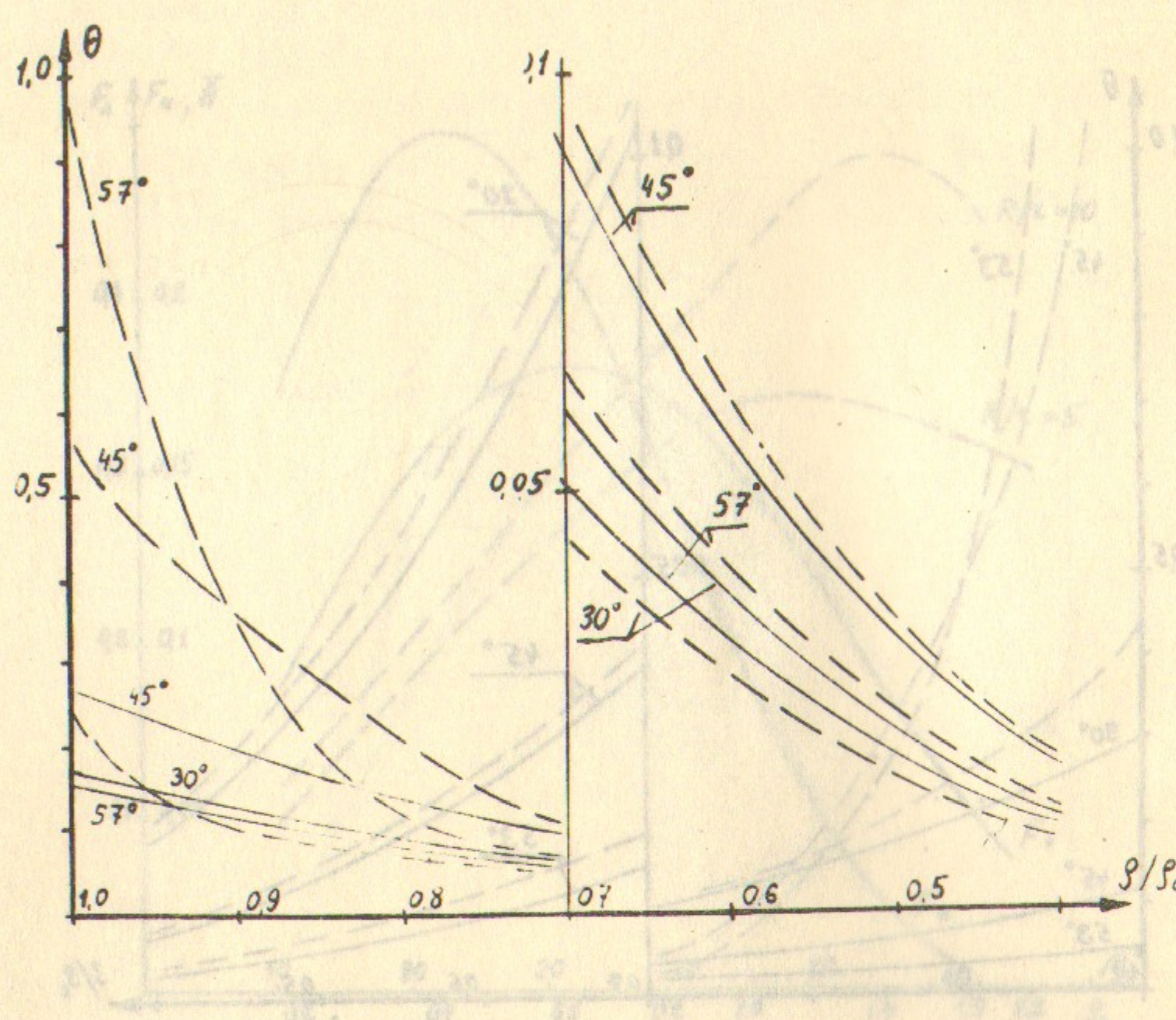


Рис.4. Зависимость  $\theta$  от усредненного радиуса магнитной поверхности  $R = 2\pi\bar{r}/L$ ;  $\bar{r}_c = 2\pi\bar{r}_c/L$ : сплошные линии - расчётные значения в соответствии с (11); штриховые линии - точный расчёт на ЭВМ;  $n = 2$ .

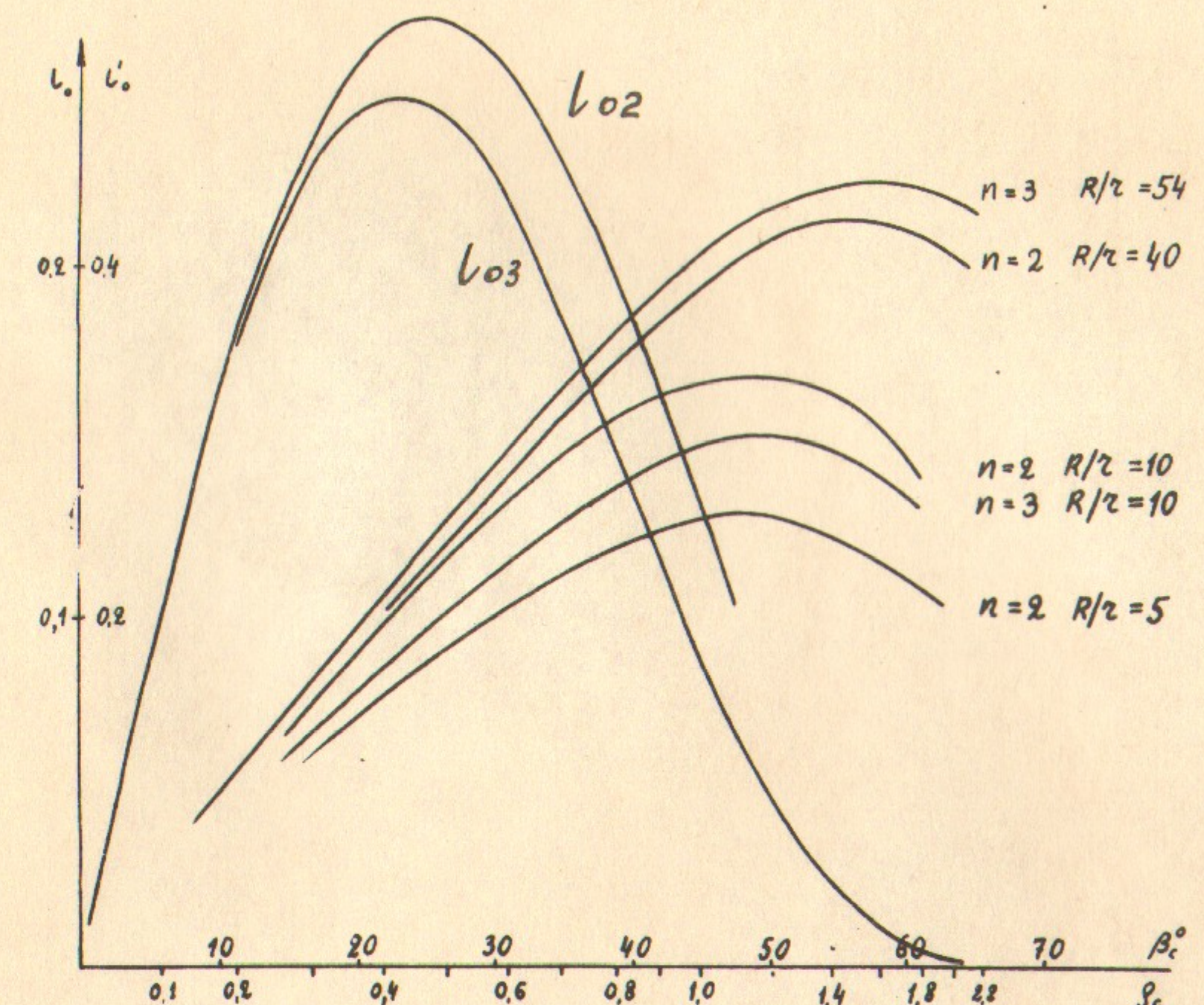


Рис.5. Зависимость функций  $L_0$ ,  $L'_0$  - от угла наклона сепаратрисы  $\beta_c$  при  $n = 2, 3$ .

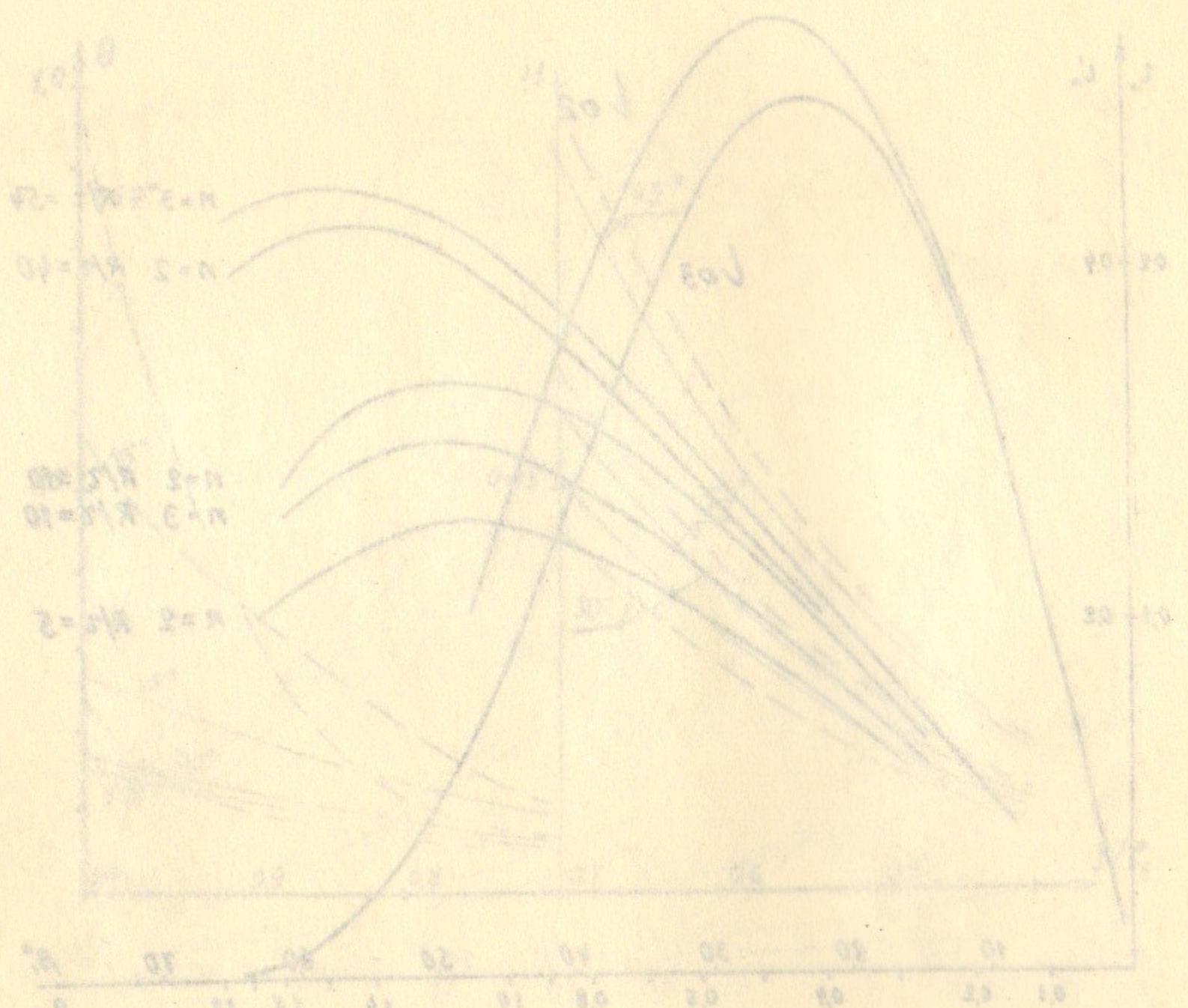


Рис. 6. Зависимость  $\theta$  от горизонтального расстояния магнитной по- верхности  $R$  в см для  $B_0 = 10^4 \text{ Гс}/\text{см}^2$ ,  $B_1 = 10^4 \text{ Гс}/\text{см}^2$ ,  $\beta = 0.5$ .  
— расчетные значения; --- точка Бисса. Видно, что при

---

Ответственный за выпуск В.И.ВОЛОСОВ

Подписано к печати 21.11.1970 года

Усл. 0,9 печ.л., тираж 200 экз. Бесплатно

Заказ № 8 ПРЕПРИНТ № Т-00030

---

Отпечатано на ротапринте в ИЯФ СО АН СССР.